

橋台の側方移動による損傷事例の逆解析

名古屋大学工学部 正会員 松尾 稔
石川工業高等専門学校 正会員 ○出村禎典

1. まえがき 橋梁は各種の部材より構成されていいるが、あのあのの部材は、部材相互や構造物全体との機能的・構造的関連性を考慮して設計されなければならぬ。現行の許容応力度設計法では、部材や破壊モード、作用荷重毎に安全率が設定され、各部材毎の安全性が満たされれば構造物全体の安全性も満足されていふとしている。

しかし現行の設計法には次のよう余問題点がある。

(1) 各安全率の値は主観的・経験的に決定され、関連性や荷重や強度の特性の違い、設計式の精度、破壊が生じたときの影響度の違いなどが定量的に評価されていない。

(2) 各部材の安全率の配分の設定の理念、構造物全体の安全性との対応が不明確である。

(3) 使用実態の調査によれば、破損事例の多い部分と少ない部分があり、安全性のアンバランスがみられる(表-1 参照)。

本研究はこのような安全率の整合性の問題に注目し、具体的に軟弱地盤上の鋼道路橋の主桁と基礎の間の整合性を例にとり、それを他の使用実態をスムーズにした形での安全率の決定を信頼性理論の立場より検討する。今回は、その中でも特に橋台の側方移動に対する安全率の上部構造との関連性を考慮した最適決定を中心発表する。

2. 側方流動による橋台移動の判定基準 橋台が背面盛土の偏載荷荷重により側方に移動し、支承の破損や伸縮継手の密着などの損傷事例が多く発生している。側方流動の定量的な把握は難しく、各機関では損傷事例を収集しそれから支配的な要因を抽出し、その要因の組み合せによる判定指標やその基準を提案している(表-2 参照)。日本道路公団は、損傷事例を A, B, C にランク分けし(A: 施工時に橋台形式の変更、支承・継手の補修、B: 伸縮継手の密着、C: 移動が生じないか機能的に問題がない), 各ランクと橋台形式や盛土高さ、杭列数、アーチロードの有無、軟弱地盤厚の厚さ、 δ_s 値などの要因間を数量化並類により解析し、影響の大きい要因を組み合せていく。建設省では、地盤支持力に対する安定係数をベースに、盛土高さ、軟弱地盤厚などの地盤条件の他に、基礎の根入れ深さ、杭列数などの構造条件も加えている。また首都高速道路公団では、円弧オベリ法による安全率と計算圧密沈下量の 2つの指標に基準を設けていく。

表-1 橋梁構造物の安全性評価項目

構造部分	破壊の種類	荷重作用の種類	発生要因	影響度	安全率
上部構造	主荷重	主荷重		大	1.7
	延性屈筋破壊	主荷重、その他	小数	大	1.7
	過度変位	活荷重	小数	中	既制限
主桁	過度引張応力	活荷重	多數	中	
	破壊モード	偏心荷重			
下部構造	地盤・活荷重・土圧	小数	大	2.0	
	支持軸跡変形	死荷重、正規地盤力	多數	大	3.0
	地盤・活荷重・土圧	多數	大	2.0	
	過大変位	死荷重、活荷重、正規地盤力	小数	中	計算地盤
	地盤・活荷重・土圧	多數	中	1.7 (6%)	3.0 (29%)
	側方移動	偏載荷荷重	多數	中	

表-2 各機関の判定基準

日本道路公団	指標 $F = \frac{C}{r \cdot h} \cdot \frac{1}{D}$
	判定基準 $F \geq 4.0$ 無対策
	$F \leq 4.0$ アーチロード工法、その他対策工
建設省	指標 $I = M_1 \times M_2 \times M_3 \times \frac{r \cdot h}{C}$
	$M_1 = \frac{D}{h}$; 軟弱层数比に応じる補正係数
	$M_2 = \frac{h}{B}$; 基礎体抵抗に応じる補正係数
	$M_3 = \frac{D}{A}$; 軟弱层数および橋脚間隔に応じる補正係数
	判定基準 $I \geq 1.5$ 無対策
	$I < 1.5$ 対策工検討の必要あり
首都高速道路公団	指標 $\left\{ \begin{array}{l} \text{円弧オベリ抵抗比 } F_c \\ \text{軟弱地盤粘土層の計算圧密沈下量 } \delta_s \end{array} \right.$
	判定基準 $F_c \geq 1.6$ 無対策
	$\delta_s \leq 1.0$ 上記以外対策工検討の必要あり
	$C/(r \cdot h)$; 安定係数, D: 軟弱地盤厚, R: 杭長, b: 基礎体幅, A: 橋台長, I: 橋台高

本研究では、側方流動に対する安全性は円弧すべり法による安全率 $F_{s,min}$ によって相似的に表現できることと考え、以下のような点に留意し、各ランク（日本道路公団と同様）の $F_{s,min}$ の分布を解析した。

(1) フレロードが施工されている橋台は、その期間に応じた圧密を考慮に入れ、強度増加率 $m=0.3$ として解析する。

(2) S.C.P.が施工されている地盤は、複合地盤として砂杭の強度も考慮し、応力分担比 $\alpha=3.0$ 、石少杭の内部摩擦角 $\phi=30^\circ$ として解析した。

(3) 側方流動によって生じる損傷は橋台施工中または竣工直後に生じるものとし、長期経過後の損傷事例は解析から省いた。

(4) 円弧すべりの安全率 $F_{s,min}$ の計算は、現地盤に即したモデルによる。

解析結果を図-1に示す。 $F_{s,min}$ による損傷のランク分けは他の機関によるとも行われたが明確に分離されない。本研究では、S.C.P.が施工されている地盤は砂杭の強度も含め、またフレロードが施工された場合は圧密も考慮しているために明確な分離が可能になったと考えられる。

3. 最適決定システム 側方移動に対する橋台の安全率 $F_{s,min}$ は、上部構造との構造的・機能的関連性を考慮しなければならない。そこで図-2のような決定システムを考え次のような損失を考慮する。Aランクの損傷は主に施工中に生じてあり、施工中の場合は補強のための工事のやり直しに伴なう費用と工期遅れに伴なう損失費を見込む。Bランクの損傷は主に使用開始後であり、メインテナンスの必要のある場合補修費とその間の交通遮断に伴なう損失費を考える。またメインテナンスを行なわない場合は、温度応力による杭の破壊確率増加に伴なう損失費を考える。

なお、損失関数は次式のように表わせる。

$$EC_T(F_{s,min}) = C_I(F_{s,min}) + C_{F,A} \cdot P(A|F_{s,min}) \\ + C_{F,B} \cdot P(B|F_{s,min}) + C_{F,C} \cdot P(C|F_{s,min}) \quad (1)$$

$$P(A|F_{s,min}) = \frac{P(F_{s,min}|A)}{P(F_{s,min}|A) + P(F_{s,min}|B) + P(F_{s,min}|C)} \quad (2)$$

C_I は建設費、 $C_{F,A}$ 、 $C_{F,B}$ 、 $C_{F,C}$ は各ランクに対する損失費。

4. おわり 詳細は当日発表する。

【参考文献】 1) 高速道路調査会、軟弱地盤上の橋台基礎に関する調査研究報告書、2) 建設省土木研究所、橋台の側方移動に関する研究、3) 道都高速道路協会、橋脚弱地盤における構造物設計法に関する調査研究、4) Minoru Matsuo and Hisashi Suzuki: "Study on Reliability-based Design of Improvement of clay Layer Sand Compaction Piles," Sand F. (to appear).

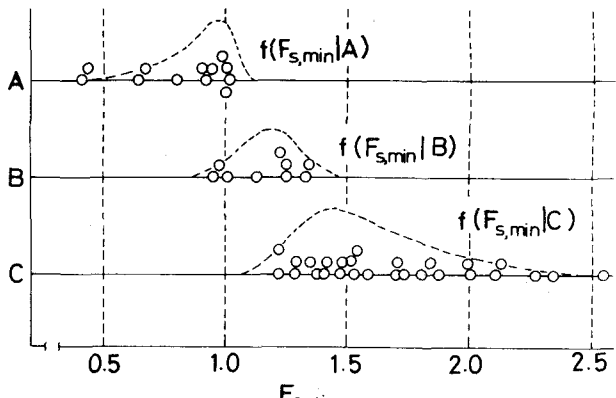


図-1 $F_{s,min}$ のランク別分布

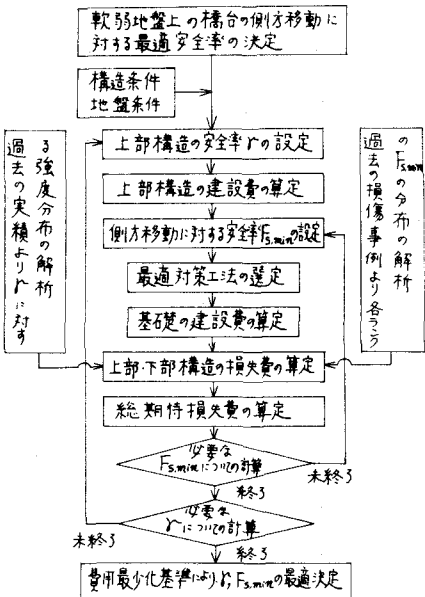


図-2 安全率の最適決定システム